

III-399 複合地盤上に建設した控え矢板式岸壁の模型実験(第3報)

大阪市立大学工学部 大島昭彦 高田直俊  
 摂南大学工学部 三笠正人  
 不動建設(株) 河本憲二 大林 淳

**研究の目的** 自重圧密状態にある粘土地盤を締め砂杭(SCP)で強化した複合地盤上に設けた図-1に示す控え矢板式岸壁の遠心力模型実験<sup>1,2)</sup>に対して円弧すべり計算を行い、破壊現象をどれだけ表現できるかを調べた。

**模型実験** 模型地盤は100Gで自重圧密した粘土層に、図-2に示すように直径26mmの砂杭を置換率 $a_s=25\%$ で主動側(Case 2)、受働側(Case 3)、主・受働両側(Case 4)に打設したもの、および砂杭のない非改良(Case 1)で、図-1に示す裏込盛土を約1年間で盛

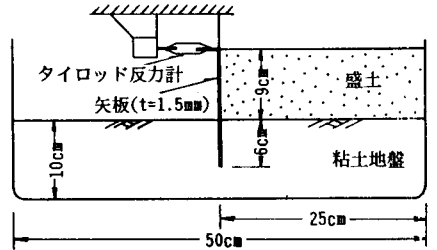


図-1 模型断面(縮尺1/100)

立るものとし、5分ごとに10Gずつ段階的に遠心加速度を上げ、100Gからは加速度を急増させた。したがって100Gまでは盛土による圧密を部分的に許すことになる。

図-3に破壊形状と破壊加速度を示した。破壊加速度は受働改良のCase 3が非改良のCase 1の約2倍、主・受働改良のCase 4が主動改良のCase 2の約2倍大きい。図-4に破壊後に測定した矢板から主動および受働側へ5、10cmの位置での粘土の含水比分布を示した。各ケースとも盛土による圧密を受けて主動側上部の含水比は低い。改良域の矢板から5cm位置の含水比は砂杭の効果で深くまで低下しており、その影響は矢板から10cmの位置でもみられる。但しCase 3の受働改良域は、破壊時(加速度が55G)の鉛直応力が初期応力(100Gでの自重応力)よりも小さいが、主動側から働く側方圧によって含水比が低下したと考えられる。

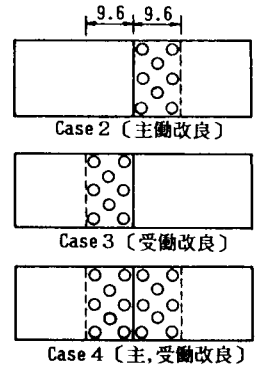


図-2 砂杭配置

**計算に用いる強度** (1)粘土地盤: 遠心加速度増加中の圧密を考慮して4部分に分け、図-4の破壊時の含水比分布から $f-\log p$ 関係と $c/p=1/3$ (一面CU試験による)を用いて強度を求めた。①改良域(矢板~9.6cm): 慣用計算法に用いられる式  $\tau = a_s(\gamma_s z + \mu_s I_\sigma \sigma_z) \tan \phi_s \cos^2 \theta + (1-a_s)c$  を用いた。右辺第1項は砂杭の強度で、 $\gamma_s = 1.0 \text{ tf/m}^3$  (水中単位体積重量)、 $\mu_s (= n/(1+(n-1)a_s))$  は応力集中係数で $n=4$ (応力分担比)を仮定、 $I_\sigma$  は応力分布係数、 $\phi_s = 32.5^\circ$  (一面CD試験による)、 $z$  は深度、 $\theta$  はすべり面の角度である。第2項の粘土強度 $c$ は矢板から5cm位置の $w$ から求める。②改良側(9.6~12cm): 遷移域として10cm位置の $w$ を用いる。③改良側(12~25cm):

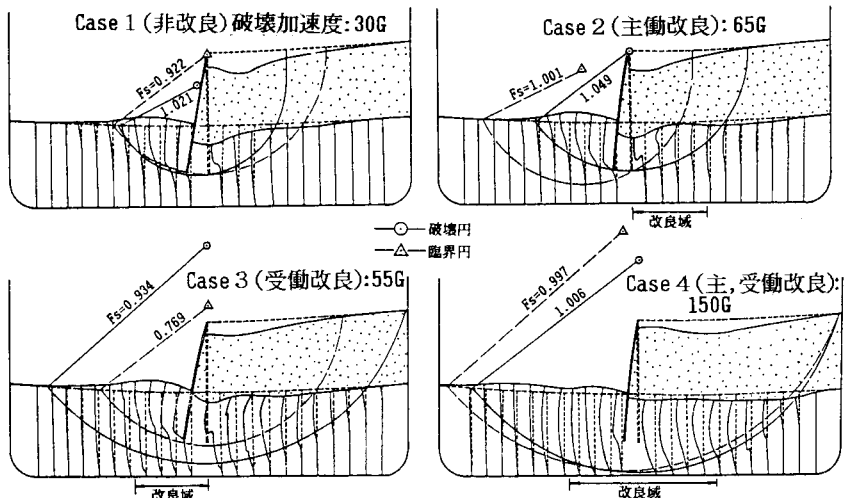


図-3 破壊形状と破壊加速度

一次元圧密計算による。④非改良側(矢板  
~25cm)：Case 1の主・受働、Case 2の受働、  
Case 3の主働側は矢板から5、10cm位置の  
wの平均を用いる。求めた強度分布を図-  
5に示した。

(2)盛土砂：盛土部を通る円弧が鉛直に  
近く、すべり面上の直圧力が過小評価され  
るため、主働土圧( $\phi=30^\circ$ 、 $\gamma=1.5tf/m^3$ に  
よる)の垂直成分を付加した。

**計算安全率** 図-3に示したように破壊  
円の安全率はいずれも1に近い。臨界円の  
安全率に関してはCase 1、2、4は1に近  
いが、Case 3はかなり小さい。Case 2、3  
の臨界円の位置は破壊円と異なっている。

**計算条件と破壊円の安全率** ①盛土内の  
すべり面の直圧力、②粘土地盤強度、③砂  
杭の $\phi_s$ 、④応力分担比nの各々が単独に  
(他の条件を上記の計算に用いた値に保つ  
て)、以下のように変化した場合の破壊円  
の安全率がどう変わるかを調べた。①は通  
常の計算のように土塊の自重の垂直成分の  
みを考える。②は自重圧密状態の初期強度

が破壊時まで保たれる(非圧密非排水せん断)場合と、慣用の設計強度、すな  
わちBarronによるU-t関係から求めた圧密度と式  $c=c_0+\mu_0 I \sigma_{z0} U \cdot c/p$  ( $c_0$ は  
初期強度、 $\mu_0$ は応力低減係数( $=1/(1+(n-1)a_s)$ ))から強度を求めた場合であ  
る。後者による強度分布を図-5に示した。非改良部は一次元圧密過程の計  
算によって強度を定めた。③は $\phi_s=30^\circ$ 、 $35^\circ$ に、④は $n=3$ 、 $5$ に変化させた。

計算結果を図-6に示す。図の○印が先の計算値である。盛土砂の主働土  
圧の影響は大きく、これを考えないときは安全率が0.07~0.16小さくなる。  
Case 1、3の安全率は条件①以外の変化に対する変動が小さい。これは両者  
が圧密の影響をそれほど受けず、Case 3は盛土荷重が改良部に及ばないので  
 $\phi_s$ 、 $n$ の変化の影響をあまり受けないためである。Case 2、4で粘土の初  
期強度をそのまま用いると、安全率は約0.1小さい。また慣用の設計強度を  
含水比分布から求めたものと比較すると、主働側は粘土層上部で大きく、下  
部で小さい。また受働側は鉛直応力が小さいので強度は低いが、両者による  
安全率は結果的にあまり差がない。 $\phi_s$ とnに関しては $\phi_s$ が $2.5^\circ$ 、nが1変  
化すると、それぞれ安全率が約0.05変化する。

**あとがき** 複合地盤の遠心力模型の破壊挙動を円弧すべりの仮定のもとに、  
地盤強度の評価法を変えて計算し、破壊現象の説明を試みた。この研究に協  
力願った本学学生栗須和茂君(現 日本国土開発)に謝意を表します。

<文献>1)三笠他：複合地盤上に建設した控え矢板式岸壁の模型実験、第21回土質工学研究  
発表会講演集、pp.1857~1858、1986

2)三笠他：同(第2報)、第22回土質工学研究発表会講演集、1987

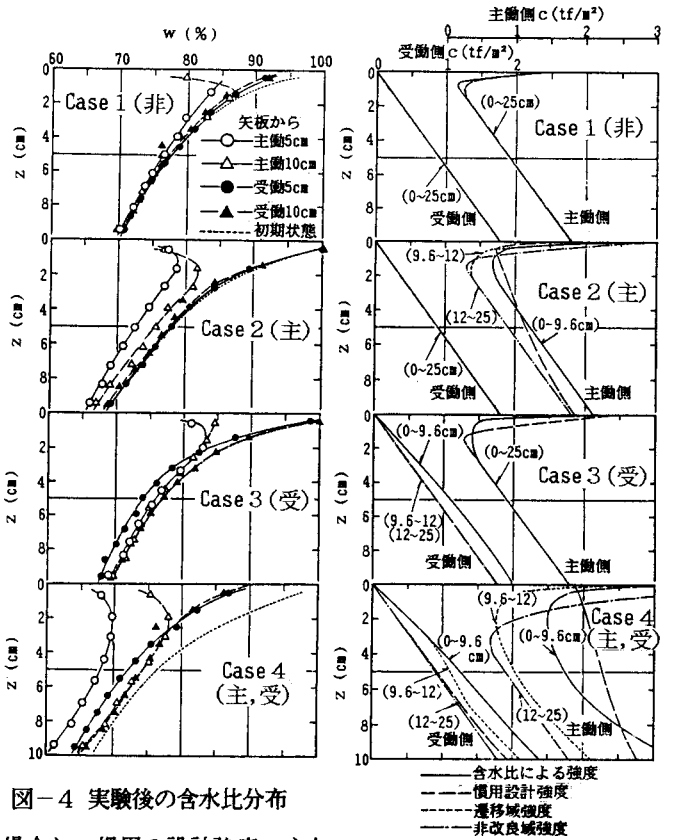


図-4 実験後の含水比分布

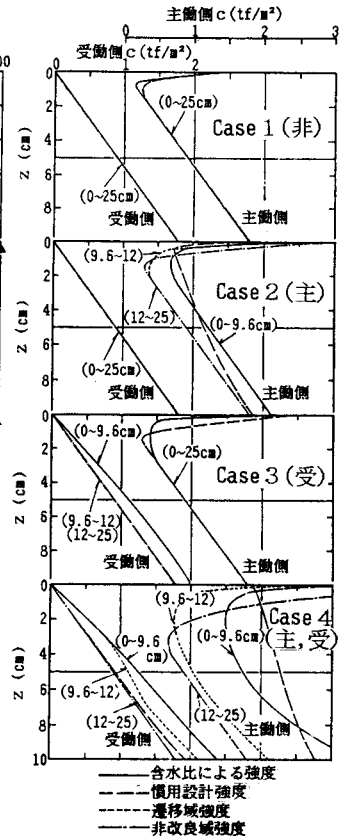


図-5 粘土の強度分布

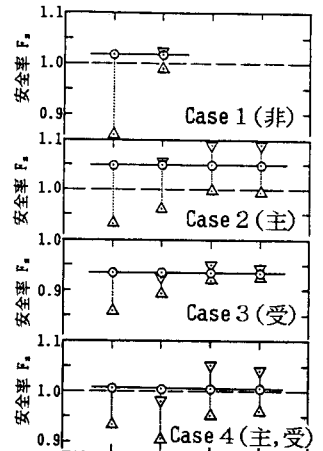


図-6 計算条件と破壊円の安全率